

原子核物理实验

应用物理教研室

西安交通大学

1978.9

实验一 放射性辐射的统计涨落

一、实验目的:

1. 了解放射性衰变的统计涨落规律
2. 了解统计误差的表示方法及对测量结果时的误差处理

二、仪器及设备

G-M计数器(MC-6)1只, 64进位译码器一台, 电表一只, 电源装置, Ce^{60} 放射源一个。

三、原理:

当我们对一强度不变(或半衰期)的放射源进行测量时, 可以预期进行的多次测量中每次的值不尽相同, 且会有相当大的差异, 这里的差异不同于对距离、重量等测量时出现的偏差, 后者只要测量仪器精密, 方法可靠, 每次测量时条件不变, 操作者谨慎小心, 就可得到互相极其接近的结果, 而前者则显然不同, 无论测量条件如何完善, 操作者如何小心, 进行多次测量中每次所得之结果均不是完全相同的, 它对各次测量之平均值互相差可能甚大, 这是由于放射性的物质中含有许多不稳定的原子核, 而每个核衰变则是完全随机的, 和别的核无任何联系的, 并且即一个核先衰变, 那一个后衰变是纯属偶然的, 无任何次序的缘故, 因此在某一时间间隔 Δt 内的衰变并不是规律性的: $\Delta N/\Delta t = -\lambda N$, 而是平均值 \bar{N} 有一定的统计性涨落, 围绕这一平均值有一分布曲线(图1-1)。

泊松分布

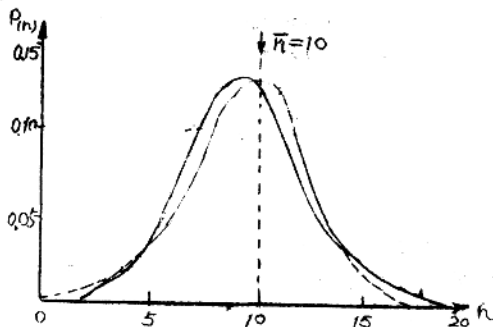
放射性测量的统计涨落规律可以用泊松分布来描述, 即在 t 时间内测量强度不变的放射源数为 n 的几率 $P(n)$ 随 n 的分布为:

$$P(n) = \frac{(\bar{N})^n}{n!} e^{-\bar{N}}$$

这里的 \bar{N} 是在 t 时间内的平均计数, $\bar{N} = \sum_{n=0}^{\infty} n P(n)$, $n! = 1 \times 2 \times 3 \times \dots$

----- XII

图一为泊松分布曲线，其 $\bar{n} = 10$ ，显然可见，分布对于平均值并不是对称的，这是泊松分布的特质，对应于 $p(n)$ 的最大值的 n' 称为最可几值， $n' \leq \bar{n}$ 。



图一. 泊松分布曲线及其高斯分布曲线 ($\bar{n} = 10$)

实线 —— 泊松分布

虚线 —— 高斯分布

高斯分布

如果在 \bar{n} 值较大的情况下，用斯特林公式

(Stirling) $n! = \sqrt{2\pi n} n^n e^{-n}$ 来代换泊松分布

的 $n!$ 则可得到高斯分布：

$$p(n) = \frac{1}{\sqrt{2\pi\sigma}} e^{-\frac{(\bar{n}-n)^2}{2\sigma^2}}$$

$$\text{其中 } \sigma = \sqrt{(\bar{n}-n)^2}$$

则在 $n \rightarrow n+dn$ 的几率 $dp(n)$ 为：

$$dp(n) = p(n)dn = \frac{1}{\sqrt{2\pi\sigma}} e^{-\frac{(\bar{n}-n)^2}{2\sigma^2}} dn.$$

我们用 $\Delta = \bar{n} - n$ 代入上式可得

$$p(\Delta) d\Delta = \frac{1}{\sqrt{2\pi\sigma}} e^{-\frac{\Delta^2}{2\sigma^2}} d\Delta.$$

从图一之曲线可以看出，高斯分布是对应于平均值 \bar{n} 的（虚线），同时也看出 $\bar{n} = 10$ 之泊松和高斯分布曲线是有差异的，但它们的差异也是很小的（对 \bar{n} 值来说），且两者的峰值是相等的（ $P(10)$ ，一般是当 $\bar{n} < 10$ 时利用泊松分布，当 $\bar{n} > 10$ 时可用高斯分布。

误差表示及其意义：

我们了解了测量数据的分布规律，然而知道每一个别测量和 \bar{n} 是有统计涨落的， $\Delta = \bar{n} - n$ ，而测量误差不能用 Δ 来表示，因为 $\Delta = 0$ ，证明如下：

$$\begin{aligned}\bar{\Delta} &= \sum_{n=0}^{\infty} (\bar{n} - n) P(n) \\ &= \sum_{n=0}^{\infty} \bar{n} P(n) - \sum_{n=0}^{\infty} n P(n) \\ &= \bar{n} - \bar{n} = 0\end{aligned}$$

通常用偏差平方的平均值 σ^2 来表示测量误差的程度

$$\begin{aligned}\sigma^2 &= \overline{(\bar{n} - n)^2} \\ &= \sum_{n=0}^{\infty} (n - \bar{n})^2 P(n) \\ &= \bar{n} + (\bar{n})^2 - 2\bar{n}^2 + \bar{n} \\ &= \bar{n} \quad \text{（见教材 II, P. 156）}\end{aligned}$$

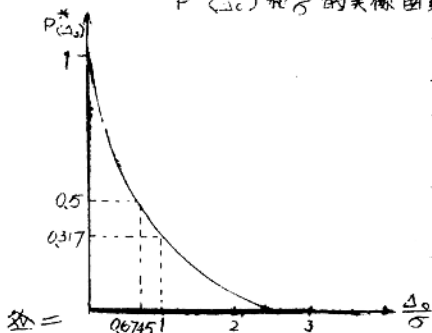
$$\therefore \sigma = \sqrt{\bar{n}}$$

由高斯分布看出，测量偏差大于某一整数值 Δ_0 的几率 $P^*(\Delta_0)$ 为：

$$\begin{aligned}P^*(\Delta_0) &= \int_{-\infty}^{-\Delta_0} \frac{1}{\sqrt{2\pi}\sigma} e^{-\frac{\Delta^2}{2\sigma^2}} d\Delta + \int_{\Delta_0}^{\infty} \frac{1}{\sqrt{2\pi}\sigma} e^{-\frac{\Delta^2}{2\sigma^2}} d\Delta \\ &= 2 \int_{\Delta_0}^{\infty} \frac{1}{\sqrt{2\pi}\sigma} e^{-\frac{\Delta^2}{2\sigma^2}} d\Delta \\ &= 1 - \Phi\left(\frac{\Delta_0}{\sqrt{\bar{n}}\sigma}\right)\end{aligned}$$

$$\bar{\Phi} = \frac{2}{\sqrt{2\pi}} \int_0^{\Delta_0} e^{-\frac{\Delta^2}{2\sigma^2}} d\Delta \quad \text{称为误差积分, 可}$$

查表。

 $P^*(\Delta_0)$ 和 $\frac{\Delta_0}{\sigma}$ 的关系曲线如下表所示


$\frac{\Delta_0}{\sigma}$	$P^*(\Delta_0)$
0.6745	0.50
1.00	0.317
1.50	0.134
2.00	0.0455
2.50	0.0124
3.00	0.0027

可能误差： $\Delta = \Delta_0 = \pm 0.6745\sigma$ 标准误差： $\Delta = \pm \sigma$
 依各次表格查出标准误差 $\Delta = \pm \sigma$ (即 $\frac{\Delta_0}{\sigma} = 1$) 时,

 $P^*(\Delta_0) = 0.317$, 即是说 n 的值出现在 $\bar{n} - \sigma$ 和 $\bar{n} + \sigma$ 间隔内的几率为 68.3%, 可能误差 $\Delta = \pm 0.6745\sigma$ 间的几率为 50%,

 通常进行放射性测量时又作一次测量, 而不作泊松分布 [(约测) > 300 次以上], (对高斯分布则需测次数更多了), 而事实上是不可行的, 也是不必要的, 因而我们设想某一次测量的值 N 即是理想的分布之平均值 \bar{n} , 则 $\sigma = \sqrt{N}$, 而表示为 $N \pm \sqrt{N}$, 即是说当在同一条件下进行测量时则出现在 $N - \sqrt{N}$ 和 $N + \sqrt{N}$ 之间的几率为 68.3%, 通常多用 $\Delta = \pm \sigma = \pm \sqrt{N}$ 来表示测量误差, 因为它的计算方便, 测量数据表示为

$$N \pm \sigma = N \pm \sqrt{N} \quad \sqrt{N} \text{ — 绝对标准误差.}$$

$$\frac{N}{t} \pm \frac{\sqrt{N}}{t} = n \pm \sqrt{\frac{n}{t}}$$

n —单位时间之计数
 t —测量时间。(一次)

$$\frac{N}{mt} \pm \frac{\sqrt{N}}{mt} = n_0 \pm \sqrt{\frac{n_0}{mt}}$$

n_0 —多次测量之计数... 平均值
 m —测量次数
 t —每次之测量时间。

对应的相对误差为:

$$\frac{\sigma}{N} = \pm \frac{\sqrt{N}}{N} = \pm \frac{1}{\sqrt{N}}$$

$$\frac{\sigma}{n} = \pm \frac{1}{\sqrt{nt}}$$

$$\frac{\sigma}{n_0} = \pm \frac{1}{\sqrt{nomt}}$$

一般的误差公式:

设两个数为: $n_a \pm \sigma_a$ 及 $n_b \pm \sigma_b$ 。

则:

1. 相加: $n_a + n_b \pm \sqrt{\sigma_a^2 + \sigma_b^2}$

2. 相减: $n_a - n_b \pm \sqrt{\sigma_a^2 + \sigma_b^2}$

3. 相乘: $n_a \cdot n_b \pm n_a n_b \sqrt{\left(\frac{\sigma_a}{n_a}\right)^2 + \left(\frac{\sigma_b}{n_b}\right)^2}$

4. 相除: $\frac{n_a}{n_b} \pm \frac{1}{n_b} \sqrt{\left(\frac{\sigma_a}{n_a}\right)^2 + \left(\frac{\sigma_b}{n_b}\right)^2}$

在进行放射性测量工作时,由于本底射线的存在使实验装置或多或少量放射性物质沾污,使得测得的数据中掺杂本底计数。本底计数也是服从统计规律的,如在某次测量中,测得在 t_b 时间内的本底计数为 N_b ,又在 t_c 时间内测得放射流连同本底计数共为 N_c ,则按误差加法规则,由放射流引起的计数率 n_a 应为:

$$n_a = n_c - n_b \pm \sqrt{\frac{n_c}{t_c} + \frac{n_b}{t_b}}$$

其中: $n_c = \frac{N_c}{t_c}$, $n_b = \frac{N_b}{t_b}$, $\sigma_c^2 = \frac{n_c}{t_c}$, $\sigma_b^2 = \frac{n_b}{t_b}$;

1—0

四、实验原理及方法：

1. 测量统计分布。

A. 测量步骤：

(1). 检查设备线路，接通电源，检查定标口是否正常。(按实验三的步骤=检查线路)

(2). 测本底计数五分钟。

(3). 以时间 $t = 2$ 秒对 C_{60} 沉测 500 次左右，将数据为 n 出现的 $p(n)$ 填如下表 (依沉速在 500 到 600/分之间)

C_{60} γ 放射源

计数 n	0	1	2	3	4	5	6
$p(n)$								
实验 $p(n) = \frac{p(n)}{\sum p(n)}$								
理论值 $p(n) = \frac{(\bar{n})^n}{n!} e^{-\bar{n}}$								

B. 计算：

$$\bar{n} = \sum_{n=0}^{\infty} n [P(n); \text{实验}]$$

C. 作图：. 作 $p(n)$ 实验 — n 曲线 } 加以比较。
 $p(n)$ 理论 — n 曲线

2. 验证测量时间和测量次数对统计误差的影响。

用 C_{60} 沉 (强度, 同(1)步骤的)

时间 t	1分	5分	10分
N			
h			
σ			
$\frac{\sigma}{N} \%$			

C_{60}^{226} 况 (同上) $t=1$ 分钟

测量次数	1	2	3	4	5	6	7	8	9	10	
计数率 n											

一次测量的计数率: $\bar{n}_1 = \underline{\hspace{2cm}}$, (用上表任一个为 \bar{n})

$$\text{标准误差 } \sigma_1 = \sqrt{\frac{n}{m}} = \underline{\hspace{2cm}}$$

五次测量的平均计数率 $\bar{n}_5 = \underline{\hspace{2cm}}$,

$$\sigma_5 = \underline{\hspace{2cm}}$$

十次测量的平均计数率 $\bar{n}_{10} = \underline{\hspace{2cm}}$,

$$\sigma_{10} = \underline{\hspace{2cm}}$$

把以上两组实验所求之平均计数率 \bar{n} 同第一组 (泊松分布曲线) 的平均计数率进行比较, 说明测量时间 t 和次数 n 对测量结果的影响。

五、总结及讨论问题:

1° 设: n_c —放射源总本底的计数率。

n_b —本底计数率

n_d —源的计数率。

E —所要求测量的相对误差。(设 $E=20\%$)

利用公式:

$$t_c = \frac{n_c + \sqrt{n_c \cdot n_b}}{n_d^2 E^2}$$

$$t_b = t_c \sqrt{\frac{n_b}{n_c}}$$

t_c —要求相对误差小于 E , 测量放射源总本底的时间。

t_b —要求相对误差小于 E 时测量本底需要的时间
 亦云 $t_c; t_b$; (收核采用实验中的测量结果)

1-8

2. 对短半衰期的放射性元素是否能测其泊松分布(如 C^{50} $T_{1/2} = 18.2$ 小时) 它的衰变是否服从泊松分布?
3. 从实验结果到理论计算误差在核物理实验中的意义。
4. 理论预期的衰变规律 $\Delta N = -\lambda N \Delta t$ 在什么情况下才是正确的。

参考文献:

1 В.И. Гольданский; А.В. Куценко
М.И. Исидоренко С.И. Петрова
Аннотация кн. Рентг. физика
Ядерных реакций Р14-17 (1959)
2 放射性同位素应用知识 中国科学院编 1959.
P156

实验二 G-M 计数管特性之一——死时间实验

一、实验目的：

1. 测量新装装置的失效时间，并对用该计数装置测量的放射性之结果进行校正。

2. 测量计数管的死时间和恢复时间。

二、仪器设备：

定标口一台， C_S^{137} 源两个（强度不同），G-M 计数管及支架两套，停表一只，脉冲示波口一副，铅屏蔽室

三、测量原理：

利用气体放电计数管测量放射性强度时，由于计数管的死时间和记录设备的失效时间（记录设备为电子学线路，还有一定的灵敏度及恢复时间所造成的），因而引起了计数损失。我们用计数管探测到的计数为 m 和实际进入计数管有效体积的粒子数 n 有一差值 $n - m$ ，为了确切测量，必须对此损失进行校正，通常记录设备的失效时间远小于计数管的死时间了，故一般只考虑后者。

计数管的死时间是由于在计数管放电后，电子被收集极收集了，而因为正离子的运动速度远小于电子的运动速度（约为 10^3 倍），此时只剩下正离子群，它们环绕在收集极的附近，形成一个“正离子鞘”，减弱了计数管极间电场，这样，~~此时~~再进入计数管有效体积内的粒子，就会不被记录（此时称为死时间的起点），正离子鞘在电场作用下向阴极漂移，到距阳极某个距离 τ 的地方，计数管开始又重新计数了（对应的计数管电压为其阈电压），（此时称为死时间的结束点），（这一段由放电开始到重新记录粒子的时间即称为计数管的死时间； τ ），

$$\therefore n = m + m\tau \cdot n \quad (n, m \text{ 均为计数率})$$

$$\therefore n = \frac{m}{1 - m\tau} \quad (1)$$

当我们已知计数管的死时间 τ 后，测得的计数率为 m 则可利用上式

求该核素的半衰期 T 。

1. 从源计数曲线转弯的“头数时间”。

该方法是基于在大量计数中寻求微小的差别，所以测量必须在较长时间内进行。 $(t_1=t_2=20\text{分}, t_1=30\text{分}, t_3=10\text{分})$

设：放射源 I, II 的真正计数率相应为 n_1, n_2 ，实际测得计数率为

m_1, m_2 。两源同时测的真正计数率为 n_{12} ，实际测得计数率为 m_{12} 。

本底真正计数率为 n_b ，实际测得 m_b 。（各个计数率 n_i, m_i 中均包括本底）。

由(1)式知道：

$$\left. \begin{aligned} n_b &= \frac{m_b \tau}{1 - m_b \tau} \\ n_1 &= \frac{m_1}{1 - m_1 \tau} \\ n_2 &= \frac{m_2}{1 - m_2 \tau} \\ n_{12} &= \frac{m_{12}}{1 - m_{12} \tau} \end{aligned} \right\} \quad (2)$$

$$\therefore n_1 + n_2 = n_{12} + n_b \quad (3)$$

把(2)式代入(3)式并乘以 $(1 + m_1 \tau), (1 + m_2 \tau)$
 $(1 + m_{12} \tau), (1 + m_b \tau)$ 分别乘其分子分母

$$\text{则: } \frac{m_1(1 + m_1 \tau)}{1 - (m_1 \tau)^2} + \frac{m_2(1 + m_2 \tau)}{1 - (m_2 \tau)^2} = \frac{m_{12}(1 + m_{12} \tau)}{1 - (m_{12} \tau)^2} + \frac{m_b(1 + m_b \tau)}{1 - (m_b \tau)^2}$$

$\therefore (m_i \tau)^2$ 很小，可以忽略不计。

$$\therefore m_1(1 + m_1 \tau) + m_2(1 + m_2 \tau) = m_{12}(1 + m_{12} \tau) + m_b(1 + m_b \tau)$$

$$\therefore \tau = \frac{m_1 + m_2 - m_{12} - m_b}{m_{12}^2 + m_b^2 - m_1^2 - m_2^2} \quad (4)$$

近似数为： $m_{12} \approx m_1 + m_2 - m_b$

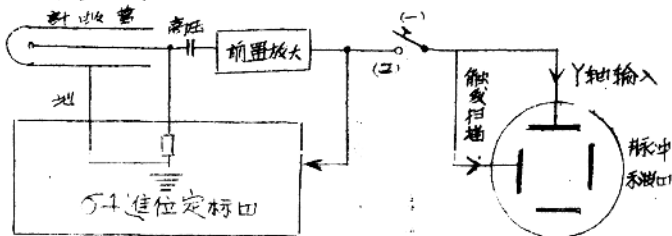
$$\text{则 } m_{12}^2 = m_1^2 + m_2^2 + 2(m_1 - m_b)(m_2 - m_b) - m_b^2 \quad (5)$$

把(5)式代入(4)式得 n_{12} 。

$$\tau = \frac{\chi}{2(m_1 - m_2)(m_2 - m_1)} \quad (6)$$

其中: $\chi = m_1 + m_2 - m_1 - m_2$

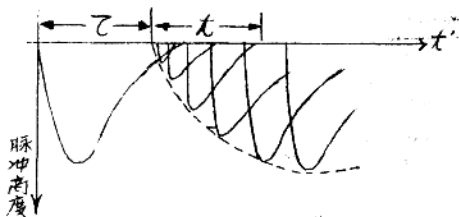
总实验装置示意图



(2) 用脉冲示波口观察计数管“死时间”

该步骤由指导教师作示范, 经教师允许后学生才能按教师要求操作。

利用脉冲示波口, 我们可以直接观察计数管的死时间 τ , 如下图所示:



τ — 死时间
 τ' — 恢复时间

脉冲示波口屏上计数管的脉冲波形态

我们利用脉冲示波口的“时标”可以读出计数管的死时间、恢复时间, 调节计数管的高压(在坪区内变)可以观察计数管输出脉冲幅度随高压改变的情况。

四. 数据处理:

(1) 双流法: (步骤自己设计)

预流突破口十分钟, (使流 I、流 II 强度在 7000 ~ 20000 份内)

顺序	名称	t (分)	m_i	$n_i = \frac{m_i}{\sum m_i}$	$\sigma_{m_i} = \sqrt{\frac{m_i}{n_i}}$
本流		10			
流 I		20			
流 I II		30			
流 II		20			

$$\bar{x} = \frac{\sum (m_i \cdot t_i)}{\sum (m_i)}$$

$$\chi = m_1 + m_2 + m_{12} + m_b$$

$$\sigma_{\bar{x}} = \sigma \times \left(\frac{\sum}{\chi} \right)$$

$$\sigma_{\bar{x}}^2 = \sigma_{m_1}^2 + \sigma_{m_2}^2 + \sigma_{m_{12}}^2 + \sigma_{m_b}^2 = \sum \frac{\sigma_{m_i}^2}{\chi}$$

$$(i=1, 2, 12, b)$$

总结果为: $\bar{x} \pm \sigma_{\bar{x}} = ?$

(2) 用脉冲示流口观察的数据

$$\bar{x} = \underline{\hspace{2cm}} \quad (4.5)$$

$$\sigma = \underline{\hspace{2cm}} \quad (1.5)$$

和双流法求得结果比较。

五、思考问题:

1. 把本实验用两种方法测的“死时间”进行比较。
2. 双流法中为什么要两个流的强度接近? 死时间是否是不变的常数? 它和计数率高低有无关系? 为什么?
3. 实验中如何保证任何条件不变? 为什么?
4. 要因死时间影响的实验误差小于 2% 时, 当 m 大于多少即要进行校正 (在同实验中求得的死时间 \bar{x} 值) 进行修正。

大、附錄:

要証明 $\sigma_z = \sigma_x \left(\frac{z}{x}\right)$

$$\sigma_x = \sqrt{\sigma_{n1}^2 + \sigma_{n2}^2 + \sigma_{n12}^2 \sigma_{n12}^2}$$

註: 已知, $z = \frac{x}{2n_{c1}n_{c2}}$ n_{c1} —取掉本底的新效率.

利用乘除公式:

$$\frac{n_a \pm \sqrt{n_a}}{n_b \pm \sqrt{n_b}} = \frac{n_a}{n_b} \pm \frac{n_a}{n_b} \sqrt{\left(\frac{\sigma_a}{n_a}\right)^2 + \left(\frac{\sigma_b}{n_b}\right)^2}$$

$$(n_a + \sqrt{n_a})(n_b + \sqrt{n_b}) = n_a \cdot n_b \pm n_a \cdot n_b \sqrt{\left(\frac{\sigma_a}{n_a}\right)^2 + \left(\frac{\sigma_b}{n_b}\right)^2}$$

則: $\sigma_z = \frac{x}{2n_{c1}n_{c2}} \sqrt{\frac{\sigma_x^2}{x^2} + \frac{4(n_{c1}n_{c2})^2 \sqrt{\frac{1}{n_{c1}} + \frac{1}{n_{c2}}}}{4n_{c1}^2 n_{c2}^2}}$

$$= \sqrt{\frac{\sigma_x^2}{(2n_{c1}n_{c2})^2} + \frac{x^2 \left(\frac{1}{n_{c1}} + \frac{1}{n_{c2}}\right)}{4(n_{c1}n_{c2})^2}}$$

$$= \sqrt{\frac{\sigma_x^2}{(2n_{c1}n_{c2})^2}}$$

$$= \sigma_x \frac{1}{2n_{c1}n_{c2}}$$

$$= \sigma_x \left(\frac{z}{x}\right)$$

再証: $\sigma_{n1} = \sqrt{\frac{n1}{x}} \left(\frac{1}{n1}\right)$

$\therefore n1 = n1 - 1$

大—測量時間

U—測量z

III—大時間內的計數

U—由於計數管死時間而

大時間內平均損失的

計數。

其平方平均偏差為:

$$\sigma_{n1}^2 = \sigma_n^2 + \sigma_U^2$$

$$= \bar{n} + \bar{L}$$

$$\approx \bar{n} + \bar{L}$$

$$= n_1 + \bar{L} + \bar{L}$$

$$= n_1 + 2\bar{L}$$

$$\approx n_1 \left[1 + \frac{2\bar{L}}{n_1} \right]$$

$$\approx n_1 \left[1 + 2 \left(\frac{\bar{L}}{n_1} \right) + \left(\frac{\bar{L}}{n_1} \right)^2 \right]$$

$$= n_1 \left[1 + \frac{\bar{L}}{n_1} \right]^2$$

$$\therefore \sigma_{n_1} = \sqrt{n_1} \left(1 + \frac{\bar{L}}{n_1} \right) = \sqrt{n_1} \left(\frac{n_1 + \bar{L}}{n_1} \right)$$

$$\sigma_{n_1} = \sqrt{\frac{n_1}{\bar{L}}} \left(\frac{n_1}{\bar{L}} \right) \quad \text{即一斜效率。}$$

因子 $\left(\frac{n_1}{\bar{L}} \right)$ 有什么物理意义？

参改书：

Experimental Nuclear

的A段) 在更高的电压下栅极开始急剧上升, (叫连续放电), 此时会很快达到管子破坏的状态, 我们选择工作电压在“坪”区内的某个值, 一般在:

$$V = V_G + \frac{V_B - V_G}{3} \text{ 到 } V_G + \frac{V_B - V_G}{2}$$

$$= \frac{V_B + 2V_G}{3} \text{ 到 } \frac{V_B + V_G}{2} \quad \text{统一的梯形部分}$$

以防止由于电压变化到 V_G 以下或电压进入连续放电范围。电压过高对管子不利, 栅极管栅有“坪斜”这主要是因为猝熄不完善及有放电体随电压增高有所变化引起的坪斜的表示如下:

$$\frac{N_B - N_G}{N_G} 100\% / (V_B - V_G)$$

N_B, N_G 为对应电压 V_B, V_G 之计数率。

一般的好管子坪斜率小于: $0.03\%/1\text{伏}$, 普通的为 $0.1\%/1\text{伏}$, 则认为管子是正常的。

当栅极管衰老后引起阈电压的增高, 连续放电电压降低, 坪斜变短, 坪斜率增加。

最后要指出, 计数管的计数率——电压特性不是绝对的, 它和所运用的记录设备有关, 和前置放大器的甄别阈有关, 放大倍数有关, 脉冲形成部分的甄别阈有关。图中的 DC 曲线称为灵敏度低的记录设备得出的, (我们的记录设备是不太灵敏的), $V_S A$ 曲线为灵敏度高的记录设备得出的。

